

03; 05; 07

© 1993

О ВЫДЕЛЕНИИ АНОМАЛЬНО БОЛЬШИХ ОБЪЕМОВ ВОДОРОДА ИЗ МЕТАЛЛОВ ПРИ ЛАЗЕРНОМ ВОЗДЕЙСТВИИ

Г.М. Михеев, Е.С. Махнев

В настоящее время имеется достаточно много экспериментальных и теоретических работ, посвященных исследованию взаимодействия лазерного излучения с твердым телом, например, [1-8]. Исследования, главным образом, посвящались изучению гидродинамики расплава и структурно-фазовых превращений, возникающих в металлах после лазерного воздействия. В то же время хорошо известно, что любой металл или его сплав в своем составе содержит определенное количество водорода в той или иной форме. Очевидно, что лазерное воздействие на поверхность металлического образца приводит к выделению водорода и изменению его распределения в зоне воздействия мощного излучения, которые, в конечном счете, могут приводить к совершенно неожиданным результатам. Однако, насколько нам известно, в литературе эти моменты не нашли своего отражения. С другой стороны, эксперименты по выделению водорода из металла при лазерном воздействии представляют интерес и с точки зрения разработки методики экспресс-анализа этого газа [9, 10].

Эксперименты проводились по следующей методике. Исследуемые образцы после необходимой подготовки взвешивались на аналитических весах ВЛР-200 и помещались в оптическую рабочую камеру. После предварительной откачки воздуха до 10^3 Па камера закрывалась. Далее, на поверхность образца производились вспышки острофокусированным лучом неодимового лазера („Квант-15“) с энергией в импульсе до 10 Дж. При этом на поверхности образца возникали кратеры с диаметром около 0.5 мм и глубиной до 2 мм в зависимости от типа сплава. Водород, выделившийся в результате испарения и оплавления металла, регистрировался методом антистоксовой спектроскопии вынужденного комбинационного рассеяния света (ВКР), подобно тому, как измерялось пространственное распределение водорода в пламени горелки [11]. Калибровка измерений осуществлялась введением заданных объемов водорода в рабочую камеру с помощью хроматографических шприцов. Повторное взвешивание исследуемого образца позволяло судить о массе металла, выброшенного наружу в результате оплавления и испарения, следовательно, и о массе металла, из которой происходит преимущественно выделение водорода.

Эксперименты показали, что при заданных параметрах импульса лазера и геометрии фокусировки количество водорода V_o , выделившееся из исследуемых образцов (титановых и алюминиевых

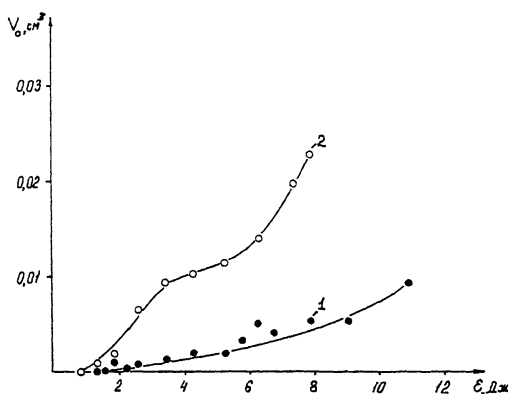


Рис. 1. Зависимость общего количества выделившегося водорода V_0 из стали 30ХГСА (1) и из алюминиевого сплава 1420 (2) от энергии ε импульсов лазера при $N = 3$.

сплавов, стали) возрастает прямо пропорционально количеству вспышек N испарительного лазера. Этот очевидный факт объясняется увеличением массы выброшенного и испаренного металла с ростом N . При заданной геометрии фокусировки и количестве вспышек объем экстрагируемого водорода V_0 существенно зависит от энергии ε импульса излучения (см. рис. 1). При ε , меньшей некоторого критического значения ε_{cr} , водород из металла не выделяется, что связано с отсутствием оплавления и испарения металла из-за недостаточного энерговклада в материал. Из экспериментально полученных кривых, представленных на рис. 1 следует, что значения ε_{cr} для стали 30ХГСА и алюминиевого сплава 1420 близки, но вполне различимы. При $\varepsilon > \varepsilon_{cr}$ происходит выброс части металла из опытного образца с интенсивным выделением водорода, причем при одних и тех же условиях эксперимента выброшенная наружу масса стали 30ХГСА примерно в пять раз больше выброшенной массы алюминиевого сплава 1420. Однако, как следует из рис. 1, из алюминиевого сплава водород выделяется с большей эффективностью во всем диапазоне дальнейшего увеличения ε .

Измерение массы выброшенного наружу металла при лазерном воздействии и выделившегося при этом объема водорода позволяет судить о концентрации C_L водорода в металле. В таблице приведены C_L для различных сплавов в сопоставлении с типичными значениями концентрации водорода C_{VD} в тех же сплавах, полученными методом вакуум-плавления [12]. Бросается в глаза впечатляющее расхождение значений C_L , C_{VD} . Примерное равенство C_L и C_{VD} имеет место лишь для сплава ВТЗ-1 с высоким содержанием водорода. Очевидно, что значения C_L являются приближен-

Концентрация водорода в массовых процентах для различных металлических образцов, рассчитанные из результатов настоящей работы (C_L), и полученные методом вакуум-плавления (C_{VD}).

Концентрация	Алюминиевые сплавы				
	4-66	2-116	2-147	2-146	1420
C_L	0.37	0.38	0.28	0.42	0.5
C_{VD}	$1.44 \cdot 10^{-5}$	$9 \cdot 10^{-6}$	$1.44 \cdot 10^{-5}$	$7.2 \cdot 10^{-6}$	$2.7 \cdot 10^{-5}$

Концентрация	Титановые сплавы			Сталь ЗОХГСА
	ВТ 3-1	ВТ-14 № 1	ВТ-14 № 2	
C_L	1.2	$6.6 \cdot 10^{-2}$	$9.6 \cdot 10^{-2}$	$2 \cdot 10^{-2}$
C_{VD}	0.8	$1 \cdot 10^{-2}$	$8.5 \cdot 10^{-3}$	$4.5 \cdot 10^{-4}$

ными. Дело в том, что при определении концентрации C_L не принималась в расчет масса металла, остающаяся в образце, но существенно подвергающаяся термическому воздействию с выделением водорода. Это может приводить к некоторому незначительному завышению расчитываемых значений C_L . Очевидно, что поправка, связанная с этим обстоятельством, отнюдь не может объяснить огромное расхождение значений C_L и C_{VD} . Такое расхождение можно объяснить только тем, что при лазерном воздействии из металла выделяется гораздо больше водорода, чем в условиях вакуум-плавления. Действительно, эксперименты показали, что воздействие лазерного излучения на алюминиевый сплав 1420 приводит к тому, что наряду с выделением газа во время лазерной вспышки, водород продолжает выделяться из образца в течение продолжительного времени, вплоть до трех суток (см. рис. 2). При этом объем газа V_f , экстрагируемый из образца в течение продолжительного времени после лазерного воздействия, сравним с количеством водорода V_0 , выделившимся непосредственно во время действия импульса лазера. Эксперименты показали, что общий объем газа V_f и скорость его выделения зависит от количества лазерных импульсов N . Это свидетельствует о том, что процесс экстракции водорода происходит именно из тех участков образца, которые подвергались энергетическому воздействию. В этом можно было убедиться и визуально, наблюдая выделение мельчайших пузырьков газа из облученных участков сплава 1420, помещенного в глицерин после лазерного воздействия.

Таким образом, проведенные в данной работе эксперименты показывают, что фактическое содержание водорода в алюминиевых сплавах во много раз больше общепринятых значений.

Одним из возможных объяснений этого факта может явиться существование тугоплавких гидридов, которые в условиях вакуум-

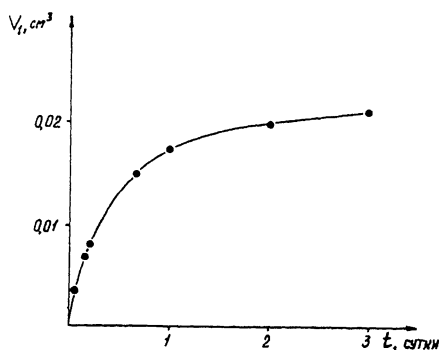


Рис. 2. Зависимость количества выделяющего водорода V_t из сплава 1420 от времени t после импульсного лазерного воздействия ($t = 0$) при $N = 14$ и $\varepsilon = 8.5$ Дж.

плавления не распадаются, но эффективно разлагаются под воздействием мощного лазерного излучения. Другим объяснением может служить предложенная нами гипотеза о существовании растворенного в сплаве мономолекулярного водорода, который, подобно атому углерода, находится в „пустотах“ кристаллической решетки и не выделяется из расплава в условиях вакуум-плавления из-за чрезвычайно слабой выталкивающей силы. Проверка предложенных гипотез является предметом дальнейших исследований.

Образцы сплавов и данные анализов, полученные методом вакуум-плавления, любезно предоставлены Верхнесалдинским металлургическим производственным объединением и Каменск-Уральским металлургическим заводом.

Список литературы

- [1] Бабикова Ю.Ф., Каюков С.В., Петрикин Ю.В. // Физика и химия обработки материалов. 1991. В. 1. С. 56–62.
- [2] Зайкин А.Е., Катулии В.А., Левин А.В., Петров А.А. // ДАН СССР. 1991. Т. 316. В. 6. С. 1398–1400.
- [3] Лазнева Э.Ф., Барышев И.В. // ЖТФ. 1991. Т. 61. В. 9. С. 167–169.
- [4] Кондырев А.М., Шербаков И.П., Абрамова К.Б., Чмель А.Е. // ЖТФ. 1992. Т. 62. В. 1. С. 206–208.
- [5] Углов А.А., Смурров И.Ю., Аксенов Л.В. // Квантовая электроника. 1991. Т. 18. В. 7. С. 882–885.
- [6] Прохоренков В.Я., Турченко Н.П. // Поверхность. Физика, механика. 1991. В. 8. С. 113–118.

- [7] Brannon J.H., Tam A.C., Kurth R.H. // J. Appl. Phys. 1991. V. 70. N 7. P. 3881-3886.
- [8] Boustic M., Cottet F. // J. Appl. Phys. 1991. V. 69. N 11. P. 7533-7538.
- [9] Зуев Б.К., Касаткин Г.Н., Кулаков Ю.А., Куний Л.Л., Михайлов Г.В. // Журнал аналитической химии. 1979. Т. 34. В. 9. С. 1714-1719.
- [10] Marwick A.D., Liu J.C., Rodbell K.F. // J. Appl. Phys. 1991. V. 69. N 11. P. 7921-7923.
- [11] Regnier P.R., Tarant J.P.E. // Appl. Phys. Lett. 1973. V. 23. N 5. P. 240-242.
- [12] Рабкин Д.М. Металлургия сварки плавлением алюминия и его сплавов. Киев: Наук. думка. 1986. С. 256.

Институт прикладной
механики УрО РАН,
Ижевск

Поступило в Редакцию
19 декабря 1992 г.